

振動流乱境界層の数値計算モデル

東京大学工学部 正員 堀川 靖司
東京大学大学院 学生員 水口 優

1.はじめに

乱流境界層は、漂砂、地形変化など海岸工学上重要な応用面をもつてゐる。現在までのところ、唯一の理論と言える複雑なモデルは、時間的に一定な乱流相似性をもつていて、周期平均的な解をとる。これは、乱流のエネルギー方程式に、定常流れのアナロジーによる乱流の構造の仮定を導入することにより、十分に詳しく2次元振動流境界層の流れの数値計算を試み、周期内の変化を求めた。

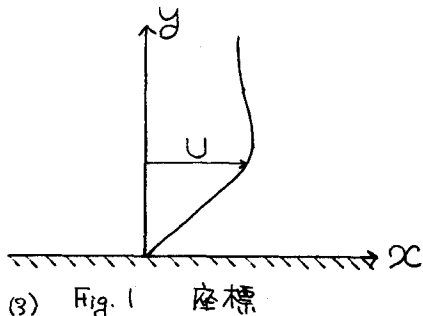
2.基礎方程式

Navier-Stokesの方程式と連続の式によりて、平均量(以下では、大文字を使用する。)と変動量(小文字)を分離すると、次の式を得る。

$$\frac{\partial U_i}{\partial t} = \frac{\partial}{\partial x_j} \left(\frac{1}{\rho} P f_{ij} + \nu \frac{\partial U_i}{\partial x_j} - \bar{U}_i \bar{U}_j \right) \quad (1)$$

$$\frac{\partial \bar{U}_i}{\partial x_i} = 0 \quad (2)$$

$$\begin{aligned} \frac{\partial}{\partial t} \left(\frac{1}{2} \bar{g}^2 \right) &= - \bar{U}_i \bar{U}_j \frac{\partial \bar{U}_i}{\partial x_j} - \bar{U}_j \frac{\partial}{\partial x_j} \left(\frac{1}{2} \bar{g}^2 \right) \\ &- \frac{\partial}{\partial x_j} \left(\frac{P}{\rho} + \frac{\bar{g}^2}{2} \right) \bar{U}_i + \nu \left\{ \frac{\partial^2}{\partial x_j^2} \left(\frac{1}{2} \bar{g}^2 \right) - 2 \left(\frac{\partial \bar{U}_i}{\partial x_j} \right)^2 \right\} \end{aligned}$$



但し、 $\bar{g}^2 = \bar{U}_i \bar{U}_i$ である。

座標は、Fig. 1 のようにとる。そして、2次元振動流の仮定(鉛直方向の代表的な長さは、長さ方向のそれに比べて無視される。)と、平均量を適用し、乱流の時間スケールが、平均流のそれに比べて無視されるとする、最終的に次の式を得る。

$$\frac{\partial U}{\partial t} = \frac{\partial \bar{U}_x}{\partial x} + \frac{\partial}{\partial y} \left(\frac{T}{\rho} \right) \quad (4)$$

$$\frac{\partial}{\partial t} \left(\frac{1}{2} \bar{g}^2 \right) = \frac{T}{\rho} \frac{\partial U}{\partial y} - \frac{\partial}{\partial y} \left(\frac{P}{\rho} + \frac{\bar{g}^2}{2} \right) \bar{U} - \epsilon \quad (5)$$

但し、 U_∞ :境界層外での流れ方向の流速、 $\frac{T}{\rho} = -\bar{U}_x \bar{U}_y$ 、 ϵ :粒性逃散である。ここで、(5)式は乱流のエネルギーの平衡を表しており、各項は乱れ、時間変化、生成、拡散、逃散に対応している。

3.乱れの構造の仮定

(4)、(5)式を開いた方程式とするために、圧力勾配の変化する定常流において、Bradshaw et al. が用いた型の仮定を採用する。

$$(i) \frac{T}{\rho} = a_1 \frac{\bar{g}^2}{L}^{3/2}$$

$$(ii) \epsilon = \frac{1}{L} \left(\frac{T}{\rho} \right)^{3/2}$$

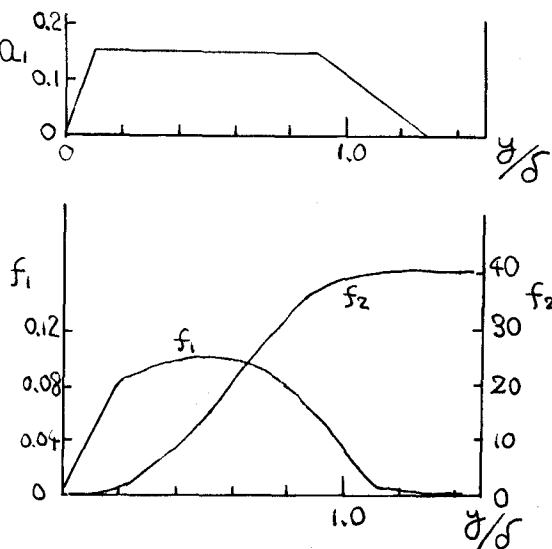


Fig. 2 相似性の関数形

$$(iii) \overline{\left(\frac{P}{\rho} + \frac{\dot{S}^2}{2}\right)} U = G \cdot \left(\frac{T_{max}}{P}\right)^{1/2} \frac{U}{P} \quad (6)$$

但し、 a_1, L, G は、境界層の厚さ δ を基準として、鉛直方向 $K=1$ の関数形を仮定する。定性的な議論と実験データより、Fig. 2 のように見える。 (図中の記号のうち、 $f_1 = 1/\delta$, $f_2 = G U_{\infty} / (T_{max})^{1/2}$ である。)

これらを (6) 式に代入すると次の式を得る。

$$\frac{1}{2} \frac{\partial}{\partial t} \left(\frac{U}{P} \right) = \frac{U}{P} \frac{\partial U}{\partial y} - \left(\frac{T_{max}}{P} \right)^{1/2} \left(f_2 \frac{U}{P} \right) - \frac{1}{f_1} \left(\frac{U}{P} \right)^{3/2} \quad (7)$$

(4), (7) 式は、 $\frac{U}{P}$, U を未知数とする非線形な連立偏微分方程式となる。 そこには、基本的には、双曲型をなす。

4. 境界条件、初期条件及び方程式の無次元化

境界条件としては、次の形を用いた。

$$U|_{y=0} = 0, \quad \frac{U}{P}|_{y=0} = U_{\infty} \frac{\partial U}{\partial y}|_{y=0} \quad (8)$$

$$U|_{y=\infty} = U_{\infty}, \quad \frac{\partial}{\partial y} \left(\frac{U}{P} \right)|_{y=\infty} = 0 \quad (9)$$

なお、境界層外での流速分布は、 $U_{\infty} = \hat{U}_{\infty} \sin \frac{2\pi t}{T}$ で与えられるものとした。

初期条件としては、平均流速 U_{∞} については、層流理論解による分布を、レイノルズ応力 τ_{xy} は、境界層内で一様な強さの乱れと見えることにより設定した。

次に、代表的な量として、 \hat{U}_{∞} , δ , T を用

いて、(4), (7) 式を無次元化すると、

$$\frac{\partial}{\partial t} \left(\frac{U}{P} \right) = \frac{1}{\delta} \sin 2\pi t \quad (10)$$

$$\frac{1}{2} \frac{\partial}{\partial t} \left(\frac{U}{P} \right) = K \left\{ \frac{U}{P} \frac{\partial U}{\partial y} - \frac{\left(T_{max} \right)^{1/2}}{15\sqrt{2\pi}} \left(f_2 \frac{U}{P} \right)^{3/2} \right\} \quad (11)$$

$$- \frac{1}{f_1} \left(\frac{U}{P} \right)^{3/2} \quad (11)$$

となり、パラメータ $K (= T_{max}/\delta)$ が、重要変量となる、である。

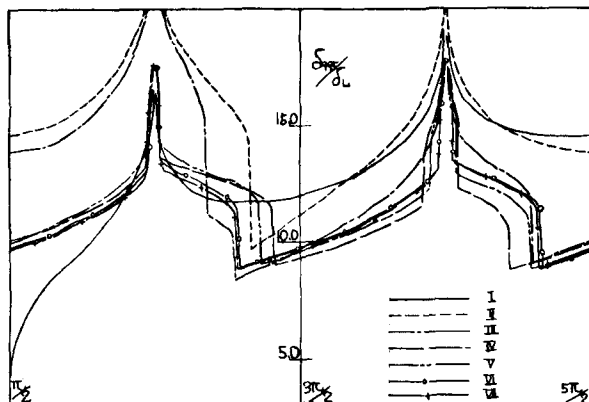


Fig. 3 δ_{995} の変化 — 収束性

5. 計算及びその結果

計算は (10), (11) 式を空間的には中央差分、時間的には前方差分を用いて行った。 なお、境界層の厚さの基準としては、 U_{∞} の 99.5% となる地点をとった。 計算を試みたケースは、 $U_{\infty} = 0.01 \text{ cm/sec}$, $T = 9.0 \text{ sec}$, $\hat{U}_{\infty} = 10, 20, 30 \text{ cm/sec}$ の 3 ケースである。

$\hat{U}_{\infty} = 20 \text{ cm/sec}$ のケースを例にとって特徴を示す。(ただし $Re = \frac{\hat{U}_{\infty} L}{\nu}$, $DL = \sqrt{\frac{U_{\infty} L}{\nu}}$ である。)

(i) Fig. 3 は、境界層の厚さ (δ_{995}) をパラメータとして、収束性を示す。 この例では、初期段階で、通常に遅いたといえる。 収束性は、 K の値が大きくなるにつれて、悪くなる傾向を示した。

(ii) Fig. 4 は、四周期目の平均流速の基本周期量、レイノルズ応力の最大値の空間分布を示す。

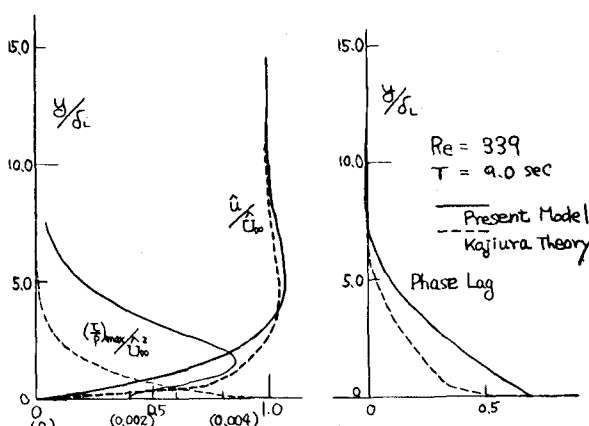


Fig. 4 流速分布の空間特性

平均流速は、層流に比して、鉛直方向のスケールがほぼ2倍になつてゐる点を考慮すると、ほぼ相似である。図中の点線は、椎浦の理論によるものである。なお、今回の計算では、平均流速は、わざわざから正弦運動と異つた。

(iii) Fig. 5 は、同じく四周期目のレイルズ応力の半周期間の変化を示す。底面では、正弦的運動を示すが、底面から遠ざりゆきにつれて、非対称性を増し、位相も進んでいく。なお、 $\tau = \pi$ における急激な減少は、振動項によるものであり、 $\pi \sim 3\pi$ でみられるやや急激な増加は、不連続の減少によるものである。

(iv) Fig. 6, Fig. 7 は、 Δ の異なる場合の底面摩擦係数及び底面での位相の進みを示す。

6. 問題点と考察

Fig. 4 での椎浦理論との比較及び Fig. 6 での計算値が層流時の値よりもよく合つることから、このモデルは、底面での境界条件におけるレイルズ応力に関する条件と乱流構造の仮定、壁と(ii)との間に適合性を欠くことが推察される。相似度量と呼ばれる層の存在を取り入れることが必要であることを示してゐるものと思われる。その他、Fig. 3 における不連續も、境界層の厚さの定義、相似性の意味などと関係して、物理的には問題がある。

今回の計算の試みの結論としては、今後の課題として、底面での境界条件の考え方、相似性の妥当性など、実験による現象論の確立が望ましい。

最後に、計算は、東京大学大型計算機センター HITAC 5020 及び HITAC 8800/8700 の両システムを使用した。

参考文献

- (i) P. Bradshaw, D.H. Ferris and N.P. Atwell, J.R.M., 28, 1967, p.593.
- (ii) K. Kajiura, Bull. Earthq. Res. Inst. Univ. of Tokyo, 46, 1968, p.75.

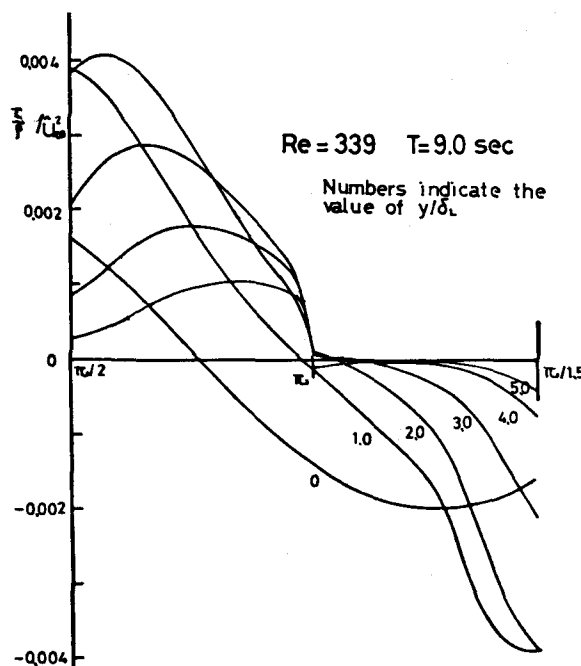


Fig. 5 レイルズ応力の時間変化

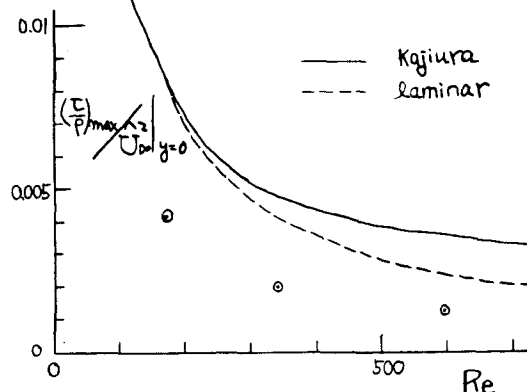


Fig. 6 底面摩擦係数

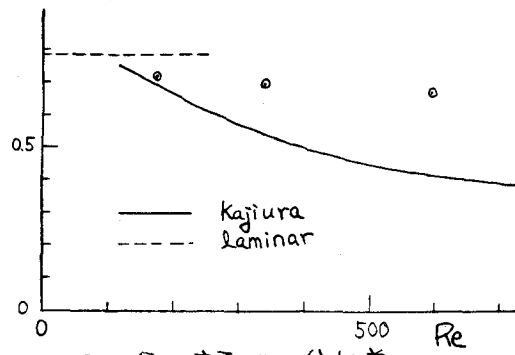


Fig. 7 底面での位相差